

# Dimensi Metrik Pada Graf *Starbarbell* dan Hasil Operasi *Edge Corona* Pada Graf *Cycle* dan Graf *Path*

Putri Dea Sari

Universitas Sebelas Maret  
e-mail: [pdeasari@gmail.com](mailto:pdeasari@gmail.com)

Tri Atmojo Kusmayadi

Universitas Sebelas Maret  
e-mail: [tri.atmojo.kusmayadi@staff.uns.ac.id](mailto:tri.atmojo.kusmayadi@staff.uns.ac.id)

**Abstract:** Let  $G$  be a connected graph with vertex set  $V(G)$  and edge set  $E(G)$ . Distance between vertex  $u$  and  $v$  is the shortest path from  $u$  to  $v$ , denoted by  $d(u, v)$ . For an ordered set  $W \subset V(G)$ ,  $W$  is resolving set of  $G$  if every pair of vertices in  $G$  are resolved by some vertex of  $W$ . Resolving set with minimum cardinality is called metric basis of  $G$ . The number of element from some basis in  $G$  is called metric dimension, denoted by  $\dim(G)$ . In this research, we determine the metric dimension of starbarbell graph and edge corona graph  $C_m \diamond P_n$ . The results show that the metric dimension of starbarbell graph is  $\dim(SB_{m_1, m_2, \dots, m_n}) = \sum_{i=1}^n (m_i - 2)$ ;  $\dim(C_m \diamond P_n) = 2$  for  $n = 1$ ,  $m = 3$ , or  $m$  even ( $m \geq 4$ );  $\dim(C_m \diamond P_n) = 3$  for  $n = 1$  and  $m$  odd ( $m \geq 5$ );  $\dim(C_m \diamond P_n) = 2 \left\lfloor \frac{2n}{5} \right\rfloor + \left\lfloor \frac{2n-2}{5} \right\rfloor$  for  $m = 3$  and  $n \geq 2$ ; and also  $\dim(C_m \diamond P_n) = m \left\lfloor \frac{2n-2}{5} \right\rfloor$  for  $m > 3$  and  $n \geq 2$ .

**Keywords:** metric dimension, resolving set, starbarbell graph,  $C_m \diamond P_n$  graph

**Abstrak:** Misal  $G$  adalah graf terhubung dengan himpunan vertex  $V(G)$  dan himpunan edge  $E(G)$ . Jarak di antara dua vertex  $u$  dan  $v$  adalah panjang path terpendek dari  $u$  ke  $v$ , yang dinyatakan dengan  $d(u, v)$ . Untuk suatu himpunan terurut  $W \subset V(G)$ ,  $W$  adalah himpunan pembeda dari  $G$  jika setiap pasang vertex dalam  $G$  dibedakan oleh suatu vertex dari  $W$ . Himpunan pembeda dengan kardinalitas minimum disebut basis metrik dari  $G$ . Banyaknya elemen dari suatu basis dalam  $G$  disebut dimensi metrik, dinyatakan dengan  $\dim(G)$ . Dalam penelitian ini ditentukan dimensi metrik dari graf starbarbell dan graf edge corona  $C_m \diamond P_n$ . Hasilnya menunjukkan bahwa dimensi metrik dari graf starbarbell adalah  $\dim(SB_{m_1, m_2, \dots, m_n}) = \sum_{i=1}^n (m_i - 2)$ ;  $\dim(C_m \diamond P_n) = 2$  untuk  $n = 1$ ,  $m = 3$ , atau  $m$  genap ( $m \geq 4$ );  $\dim(C_m \diamond P_n) = 3$  untuk  $n = 1$  dan  $m$  ganjil ( $m \geq 5$ );  $\dim(C_m \diamond P_n) = 2 \left\lfloor \frac{2n}{5} \right\rfloor + \left\lfloor \frac{2n-2}{5} \right\rfloor$  untuk  $m = 3$  dan  $n \geq 2$ ; dan juga  $\dim(C_m \diamond P_n) = m \left\lfloor \frac{2n-2}{5} \right\rfloor$  untuk  $m > 3$  dan  $n \geq 2$ .

**Kata kunci:** dimensi metrik, himpunan pembeda, graf starbarbell, graf  $C_m \diamond P_n$

## 1. Pendahuluan

Tahun 1975, konsep dimensi metrik muncul dari himpunan pembeda yang diperkenalkan oleh Slater [9], yang mendefinisikan himpunan pembeda atau *locating set*  $W$  sebagai himpunan dari *vertex-vertex* pada suatu graf  $G$  sedemikian sehingga untuk setiap *vertex* di  $G$  akan dihasilkan jarak yang berbeda terhadap setiap *vertex* di  $W$ . Dimensi metrik adalah kardinalitas minimum dari himpunan pembeda  $W$ . Kemudian Harary dan Melter [6] pada tahun 1976 menyebutkan himpunan pembeda sebagai *resolving set*. Hasil operasi *edge corona* dari graf *cycle* dan graf *path* dinotasikan dengan  $C_m \diamond P_n$ . Graf ini terbentuk dari salinan graf *cycle*  $C_m$  dan  $m$  salinan graf *path*  $P_n$  kemudian menggabungkan dengan dua *vertex* ujung dari  $e_i \in E(C_m)$  ke setiap *vertex*  $v_j \in V(P_n)$  pada salinan ke- $i$  dengan  $i = 1, 2, \dots, m_1$  dan  $j = 1, 2, \dots, n_2$ .

Beberapa peneliti telah menemukan dimensi metrik pada beberapa kelas graf. Tahun 2000, Chartrand *et al.* [5] meneliti dimensi metrik graf *path*  $P_n$ , graf *cycle*  $C_n$ , dan graf lengkap  $K_n$ . Tahun 2005, Caceres *et al.* [3] meneliti dimensi metrik graf *fan*. Tahun 2009, Caceres *et al.* [4] meneliti dimensi metrik pada graf tak hingga. Tahun 2011, Bača *et al.* [1] meneliti dimensi metrik pada graf bipartit  $k$ -reguler. Tahun 2016, Kusmayadi *et al.* [8] meneliti dimensi metrik pada graf *sunflower*, graf *t-fold wheel*, dan graf  $K_1 + (P_n \odot P_m)$ . Widodo [10] menentukan dimensi metrik dari *helm graph* dan *double cones graph*. Hasil penelitian tersebut membuat penulis tertarik untuk mencari dimensi metrik pada kelas graf lain yang belum pernah ditentukan, yaitu dimensi metrik pada graf *starbarbell* dan graf  $C_m \diamond P_n$ .

## 2. Metode Penelitian

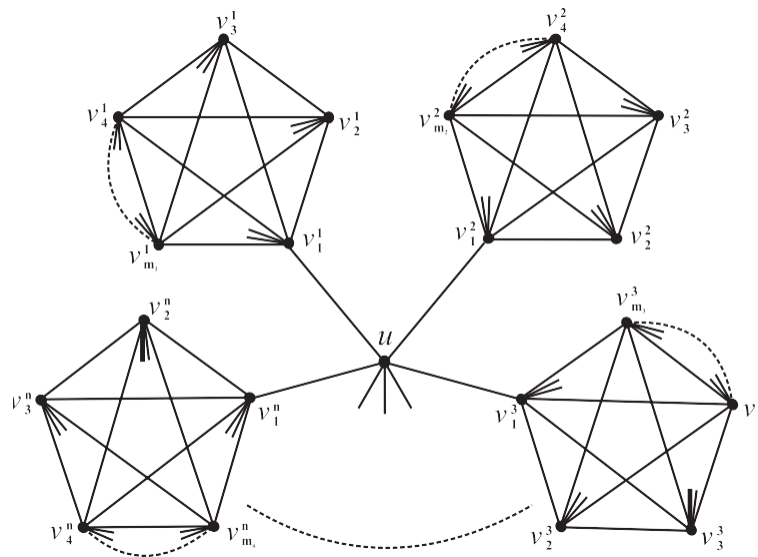
Metode yang digunakan dalam penelitian ini adalah kajian pustaka yaitu dengan mengumpulkan referensi berupa buku-buku, jurnal maupun tulisan-tulisan yang dimuat di situs web. Dari metode ini, dapat ditentukan dimensi metrik pada graf *starbarbell* dan graf  $C_m \diamond P_n$ . Langkah-langkah yang dilakukan dalam penelitian ini diuraikan sebagai berikut.

- 1) Menentukan himpunan pembeda  $W$  pada graf *starbarbell* dan graf  $C_m \diamond P_n$ .
- 2) Menghitung jarak setiap *vertex* dengan  $W$  yang telah ditentukan, sedemikian sehingga setiap dua *vertex* berbeda pada graf *starbarbell* dan graf  $C_m \diamond P_n$  mempunyai representasi yang berbeda terhadap  $W$ .
- 3) Menentukan dimensi metrik berdasarkan hasil yang diperoleh pada Langkah 2) pada graf *starbarbell* dan graf  $C_m \diamond P_n$ .
- 4) Membuat pembuktian dengan menyusun lema dan teorema berdasarkan hasil yang diperoleh.
- 5) Membuat kesimpulan

### 3. Hasil dan Pembahasan

#### 3.1 Dimensi Metrik pada Graf *Starbarbell*

Budianto dan Kusmayadi [2] mendefinisikan graf *starbarbell*  $SB_{m_1, m_2, \dots, m_n}$  merupakan graf yang terbentuk dari sebuah graf *star*  $K_{1, n}$  dan  $n$  graf *lengkap*  $K_{m_i}$  kemudian menggabungkan satu *vertex* dari masing-masing  $K_{m_i}$  dengan *leaf* ke- $i$  pada  $K_{1, n}$  dengan  $m_i \geq 3$ ,  $1 \leq i \leq n$ , dan  $n \geq 2$ . Ilustrasi dari graf *starbarbell* dapat dilihat pada Gambar 1.



Gambar 1. Graf *starbarbell*  $SB_{m_1, m_2, \dots, m_n}$

**Lemma 3.1.** *Vertex pusat  $u$  tidak termuat dalam basis manapun pada suatu graf starbarbell  $SB_{m_1, m_2, \dots, m_n}$ .*

**BUKTI.** Dibuktikan dengan kontradiksi. Andai  $P$  adalah basis pada graf *starbarbell*  $SB_{m_1, m_2, \dots, m_n}$  yang memuat *vertex* pusat  $u$ . Karena  $P \setminus \{u\}$  bukan basis, terdapat *vertex*  $v, v' \in V(SB_{m_1, m_2, \dots, m_n})$  sedemikian sehingga  $d(v, x) = d(v', x)$  untuk setiap  $x \in P \setminus \{u\}$ . Jelas bahwa  $P = \{u\}$  bukan basis, sehingga  $P \setminus \{u\} \neq \emptyset$ . Jika tidak

berlaku  $v = u$  dan  $v' = u$  maka  $d(v, u) = d(v', u)$  dan  $P$  bukan basis pada graf *starbarbell*  $SB_{m_1, m_2, \dots, m_n}$ . Misal diasumsikan  $v' = u$  dan tanpa mengurangi keumuman,  $v$  adalah *vertex*  $v_2^2$ . Pada kasus ini, diperoleh  $d(v_2^2, x) = d(u, x)$  untuk setiap  $x \in P$ . Artinya  $P$  bukan basis. Sehingga terbukti bahwa *vertex* pusat  $u$  tidak termuat dalam basis manapun.  $\square$

**Teorema 3.2.** Untuk setiap graf *starbarbell*  $SB_{m_1, m_2, \dots, m_n}$  dengan  $m_i \geq 3$  untuk setiap  $1 \leq i \leq n$  dan  $n \geq 2$  berlaku

$$\dim(SB_{m_1, m_2, \dots, m_n}) = \sum_{i=1}^n (m_i - 2).$$

**BUKTI.** Diberikan graf *starbarbell*  $SB_{m_1, m_2, \dots, m_n}$  dengan  $m_i \geq 3$  untuk setiap  $1 \leq i \leq n$  dan  $n \geq 2$ .

i) Akan ditunjukkan bahwa  $\dim(SB_{m_1, m_2, \dots, m_n}) \leq \sum_{i=1}^n (m_i - 2)$ .

Dengan Lema 3.1, dipilih himpunan  $W = \{v_j^i\}$  dengan  $1 \leq i \leq n$  dan  $2 \leq j \leq m_i - 1$ . Kardinalitas dari  $W$  yaitu  $\sum_{i=1}^n (m_i - 2)$ . Diperoleh representasi dari setiap *vertex* pada  $SB_{m_1, m_2, \dots, m_n}$  terhadap  $W$  sebagai berikut

$$r(v_1^1 | W) = (1, 1, \dots, 1, 3, 3, \dots, 3, \dots, 3, 3, \dots, 3),$$

$$r(v_2^1 | W) = (0, 1, \dots, 1, 4, 4, \dots, 4, \dots, 4, 4, \dots, 4),$$

⋮

$$r(v_{m_1}^1 | W) = (1, 1, \dots, 1, 4, 4, \dots, 4, \dots, 4, 4, \dots, 4),$$

⋮

$$r(v_1^n | W) = (3, 3, \dots, 3, 3, 3, \dots, 3, \dots, 1, 1, \dots, 1),$$

$$r(v_2^n | W) = (4, 4, \dots, 4, 4, 4, \dots, 4, \dots, 0, 1, \dots, 1),$$

⋮

$$r(v_{m_n}^n | W) = (4, 4, \dots, 4, 4, 4, \dots, 4, \dots, 1, 1, \dots, 1),$$

$$r(u | W) = (2, 2, \dots, 2, 2, 2, \dots, 2, \dots, 2, 2, \dots, 2).$$

Karena setiap *vertex* mempunyai representasi yang berbeda terhadap  $W$ , sehingga  $W$  merupakan himpunan pembeda.

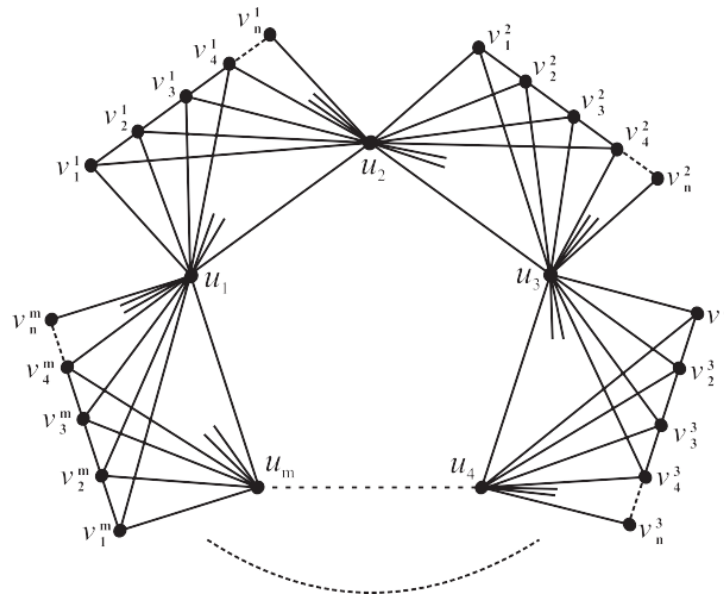
ii) Akan ditunjukkan bahwa  $\dim(SB_{m_1, m_2, \dots, m_n}) \geq \sum_{i=1}^n (m_i - 2)$ .

Ditunjukkan dengan kontradiksi, andaikan  $W$  adalah himpunan pembeda dari graf *starbarbell*  $SB_{m_1, m_2, \dots, m_n}$  dengan  $|W| < \sum_{i=1}^n (m_i - 2)$ . Jika dipilih himpunan  $W = \{v_x^1, v_z^y\}$  dengan  $2 \leq x \leq m_i - 2$ ,  $2 \leq y \leq n$ , dan  $2 \leq z \leq m_y - 1$ , maka terdapat vertex  $v_{m_1-1}^1, v_{m_1}^1 \in V(SB_{m_1, m_2, \dots, m_n})$  sedemikian sehingga terdapat representasi yang sama yaitu  $r(v_{m_1-1}^1 | W) = r(v_{m_1}^1 | W) = (1, 1, \dots, 1, 4, 4, \dots, 4, \dots, 4, 4, \dots, 4)$ . Hal ini kontradiksi dengan pengandaian, sehingga  $\dim(SB_{m_1, m_2, \dots, m_n}) \geq \sum_{i=1}^n (m_i - 2)$ .

Dari i) dan ii), terbukti bahwa  $\dim(SB_{m_1, m_2, \dots, m_n}) = \sum_{i=1}^n (m_i - 2)$ .  $\square$

### 3.2 Dimensi Metrik pada Graf $C_m \diamond P_n$

Definisi dari *edge corona* dua buah graf diambil dari Hou and Shiu [7]. Graf  $C_m \diamond P_n$  adalah suatu graf yang diperoleh dari hasil operasi *edge corona* graf cycle  $C_m$  dengan graf *path*  $P_n$  dengan  $m \geq 3$  dan  $n \geq 1$ . Ilustrasi graf  $C_m \diamond P_n$  dapat dilihat pada Gambar 2.



Gambar 2. Graf  $C_m \diamond P_n$

Berikut ini diberikan hasil dimensi metrik pada graf  $C_m \diamond P_n$ .

**Lema 3.3.** Vertex  $u_i \in V(C_m)$  dengan  $1 \leq i \leq m$  dan  $m \geq 3$  tidak termuat dalam basis manapun pada graf  $C_m \diamond P_n$ .

**BUKTI.** Dibuktikan dengan kontradiksi. Andai  $P$  adalah basis pada graf  $C_m \diamond P_n$  yang memuat  $u_i$ . Karena  $P \setminus \{u_i\}$  bukan basis, terdapat vertex  $v, v' \in V(C_m \diamond P_n)$  sedemikian sehingga  $d(v, x) = d(v', x)$  untuk setiap  $x \in P \setminus \{u_i\}$ . Jelas bahwa  $P = \{u_i\}$  bukan basis, sehingga  $P \setminus \{u_i\} \neq \emptyset$ . Jika tidak berlaku  $v = u_i$  dan  $v' = u_i$  maka  $d(v, u_i) = d(v', u_i)$  dan  $P$  bukan basis pada graf  $C_m \diamond P_n$ . Misal diasumsikan  $v' = u_i$  dan tanpa mengurangi keumuman,  $v$  adalah vertex  $v_2^i$ . Pada kasus ini, diperoleh  $d(v_2^i, x) = d(u_i, x)$  untuk setiap  $x \in P$ . Artinya  $P$  bukan basis. Sehingga terbukti bahwa vertex  $u_i$  dengan  $1 \leq i \leq m$  tidak termuat dalam basis manapun.  $\square$

**Teorema 3.4.** Untuk setiap graf  $C_m \diamond P_n$  dengan  $m \geq 3$  dan  $n \geq 1$  berlaku

$$\dim(C_m \diamond P_n) = \begin{cases} 2, & m = 3 \vee \text{genap } (m \geq 4), n = 1; \\ 3, & m \text{ ganjil } (m \geq 5), n = 1; \\ 2 \left\lfloor \frac{2n}{5} \right\rfloor + \left\lfloor \frac{2n-2}{5} \right\rfloor, & m = 3, n \geq 2; \\ m \left\lfloor \frac{2n-2}{5} \right\rfloor, & m > 3, n \geq 2. \end{cases}$$

**BUKTI** Pembuktian rumus umum dimensi metrik pada graf  $C_m \diamond P_n$  terbagi menjadi empat kasus sebagai berikut.

**Kasus 1.**  $m = 3$  atau  $m$  genap ( $m \geq 4$ ),  $n = 1$ .

1. Misalkan  $m$  bilangan bulat,  $m = 3$ . Pilih  $W = \{v_1^1, v_1^2\} \subset V(P_1)$ , diperoleh representasi semua vertex  $V(C_3 \diamond P_1)$  terhadap  $W$  sebagai berikut

$$\begin{aligned} r(u_1|W) &= (1, 2), & r(u_3|W) &= (2, 1), & r(v_1^2|W) &= (2, 0), \\ r(u_2|W) &= (1, 1), & r(v_1^1|W) &= (0, 2), & r(v_1^3|W) &= (2, 2). \end{aligned}$$

2. Untuk  $m$  genap ( $m \geq 4$ ) dan  $n = 1$ .

Misalkan  $m$  bilangan bulat genap  $m \geq 4$ . Pilih  $W = \{v_1^1, v_1^{\frac{m}{2}}\} \subset V(P_1)$ , diperoleh representasi semua vertex  $V(C_m \diamond P_1)$  terhadap  $W$  sebagai berikut

$$r(u_i|W) = \begin{cases} \left(1, \frac{m}{2}\right), & i = 1; \\ \left(\frac{m}{2}, 1\right), & i = \frac{m+2}{2}; \\ \left(i-1, \frac{m}{2} + 1 - i\right), & 2 \leq i \leq \frac{m}{2}; \\ \left(m+2-i, i - \frac{m}{2}\right), & \frac{m+4}{2} \leq i \leq m; \end{cases}$$

$$r(v_1^i|W) = \begin{cases} \left(0, \frac{m}{2}\right), & i = 1; \\ \left(i, \frac{m}{2} + 1\right), & 2 \leq i \leq \frac{m-2}{2}; \\ \left(i-1, \frac{m}{2} + 1 - i\right), & i = \frac{m}{2}; \\ \left(2-i+m, 1+i - \frac{m}{2}\right), & \frac{m+2}{2} \leq i \leq m. \end{cases}$$

Dari 1 dan 2, setiap *vertex*  $V(C_3 \diamond P_1)$  dan  $V(C_m \diamond P_n)$  dengan  $m$  genap ( $m \geq 4$ ) dan  $n = 1$  memiliki representasi yang berbeda terhadap  $W$  maka  $W$  adalah himpunan pembeda dengan  $2^2$  elemen. Berdasarkan karakterisasi dari Chartrand *et al.* [5] yang menyatakan  $\dim(G) = 1$  jika dan hanya jika  $G = P_n (n \geq 2)$ , karena  $C_3 \diamond P_1 \neq P_n (n \geq 2)$  maka diperoleh  $\dim(C_3 \diamond P_1) = 2$ . Hal ini berlaku pula untuk  $C_m \diamond P_n$  dengan  $m$  genap ( $m \geq 4$ ) dan  $n = 1$ .  $\square$

**Kasus 2.**  $m$  ganjil ( $m \geq 5$ ),  $n = 1$ .

Misalkan  $m$  bilangan bulat,  $m \geq 5$ . Pilih  $W = \{v_1^m, v_1^1, v_1^{\frac{m-2}{2}}\} \subset V(P_n)$ , diperoleh representasi semua *vertex*  $V(C_m \diamond P_n)$  terhadap  $W$  sebagai berikut

$$r(u_i|W) = \begin{cases} \left(1, 1, \frac{m-1}{2}\right), & i = 1; \\ \left(i, i-1, \frac{m+1}{2} - i\right), & 2 \leq i \leq \frac{m-1}{2}; \\ (i, i-1, 1), & i = \frac{m+1}{2}; \\ \left(m+1-i, m+2-i, i - \frac{m-1}{2}\right), & \frac{m+3}{2} \leq i \leq m; \end{cases}$$

1. Untuk  $m = 5$ .

$$r(v_1^i|W) = \begin{cases} (2,0,2), & i = 1; \\ (3,2,0), & i = 2; \\ (m - i + 1, m - \lfloor \frac{m}{2} \rfloor, i - 1), & i = 3,4; \\ (0,2,3), & i = 5. \end{cases}$$

2. Untuk  $m > 5$ .

$$r(v_1^i|W) = \begin{cases} (2,0,2), & i = 1; \\ (3,2,0), & i = 2; \\ (i + 1, i, i - 1), & 3 \leq i \leq \frac{m-1}{2}; \\ (m - i + 1, m - \lfloor \frac{m}{2} \rfloor, i - 1), & \frac{m+1}{2} \leq i \leq \frac{m+3}{2}; \\ (m - i + 1, m - i + 2, m - i + 3), & \frac{m+5}{2} \leq i \leq m - 1; \\ (0,2,3), & i = m. \end{cases}$$

Setiap *vertex*  $V(C_m \diamond P_n)$  memiliki representasi yang berbeda terhadap  $W$  maka  $W$  adalah himpunan pembeda dengan  $3$  elemen. Selanjutnya ditunjukkan  $C_m \diamond P_n$  tidak memiliki himpunan pembeda dengan  $2$  elemen. Andaikan  $C_m \diamond P_n$  memiliki himpunan pembeda  $W$  dengan  $2$  elemen, terdapat  $3$  kemungkinan pemilihan *vertex* dari  $W$ . Akan tetapi, berdasarkan Lema 3.3 *vertex*  $u_i \in V(C_m)$  dengan  $1 \leq i \leq m$  dan  $m \geq 3$  tidak termuat dalam basis manapun sehingga  $W \subset V(P_n)$ . Sehingga hanya ada 1 kemungkinan pemilihan *vertex* dari  $W$  yaitu kedua *vertex* dari  $W$  termasuk dalam  $\{v_1^m : 1 \leq m \leq n\} \subset V(P_1)$

Misalkan salah satu *vertex* dalam  $W$  adalah  $v_1^1$  dan *vertex* lainnya adalah  $v_1^s$ , dengan ( $2 \leq s \leq m$ ). Diperoleh representasi yang sama yaitu

$$r(u_m|W) = r(v_1^m|W) = (2, s + 1), 2 \leq s \leq \frac{m-1}{2};$$

$$r(u_{m-1}|W) = r(v_1^3|W) = (3, s - 2), s = \frac{m+1}{2};$$

$$r(u_{m-1}|W) = r(v_1^4|W) = (3, s - 2), s = \frac{m+3}{2}; \text{ dan}$$

$$r(u_3|W) = r(v_1^2|W) = (2, m - s + 2), \frac{m-5}{2} \leq s \leq m.$$

Untuk  $W = \{v_1^t, v_1^s\}$ , dengan  $2 \leq t < s \leq m$ , selalu diperoleh dua *vertex*  $V(C_m \diamond P_n)$  yang memiliki representasi sama terhadap  $W$ . Hal ini kontradiksi

dengan pengandaian. Diperoleh representasi yang sama terhadap  $W$ . Oleh karena itu,  $V(C_m \diamond P_n)$  tidak memiliki himpunan pembeda dengan  $2$  elemen. Himpunan pembeda dengan kardinalitas minimum dari  $V(C_m \diamond P_n)$  adalah  $3$  elemen, sehingga terbukti  $\dim(C_m \diamond P_n) = 3$ , untuk  $m$  ganjil ( $m \geq 5$ ) dan  $n = 1$ .  $\square$

**Kasus 3.**  $m = 3$  dan  $n \geq 2$ .

Graf  $C_m \diamond P_n$  dengan  $m = 3$  dan  $n \geq 2$  mempunyai himpunan vertex  $V(C_m \diamond P_n) = \{u_1, u_2, u_3, v_1^1, v_2^1, \dots, v_n^1, v_1^2, v_2^2, \dots, v_n^2, v_1^3, v_2^3, \dots, v_n^3\}$ . Berdasarkan Lema 3.2, vertex  $u_i \in V(C_m)$  dengan  $1 \leq i \leq n$  dan  $m \geq 3$  tidak termuat dalam basis manapun sehingga  $W \subset V(P_n)$ . Pembuktian dibagi menjadi  $2$  bagian yaitu untuk path  $P_s$  dengan  $s = 1, 2$  dan path  $P_i$  dengan  $i = 3$

1. Path  $P_s$  dengan  $s = 1, 2$ .
  - (a) Satu dari dua vertex  $v_1^s, v_2^s$  dengan  $s = 1, 2$  merupakan elemen  $W$ . Jika  $v_1^s, v_2^s \notin W$  maka  $d(v_1^s, u_p) = d(v_2^s, u_p) = 1$  dan  $d(v_1^s, v_q^p) = d(v_2^s, v_q^p) = 2$  dengan  $p = 2, 3$  dan  $q = 1, 2$  sehingga  $r(v_1^s | W) = r(v_2^s | W)$ . Dipilih vertex  $v_2^s$ .
  - (b) Jika setiap vertex  $v_3^s, v_4^s, v_5^s \notin W$  maka  $r(v_1^s | W) = r(v_3^s | W)$  dan  $r(v_4^s | W) = r(v_5^s | W)$ . Sehingga salah satu dari ketiga vertex tersebut merupakan elemen  $W$ . Misal dipilih  $v_3^s \in W$ , terdapat dua vertex dengan representasi sama yaitu  $r(v_5^s | W) = r(v_1^s | W)$ . Jika dipilih  $v_5^s \in W$  maka  $r(v_1^s | W) = r(v_3^s | W)$ . Sehingga  $v_3^s, v_5^s \notin W$ , dipilih  $v_4^s \in W$ .
  - (c) Dari (a) dan (b), jika  $W$  himpunan pembeda maka setidaknya terdapat 2 elemen dari setiap 5 vertex. Tanpa mengurangi keumuman misal dipilih  $n = 9$ , terdapat 4 elemen  $W$ . Jika dipilih  $v_2^s, v_4^s, v_7^s, v_9^s \in W$  maka diperoleh 2 pasang vertex dengan representasi berbeda terhadap  $W$  sehingga vertex tersebut merupakan elemen  $W$ . Pada path  $P_s$ , vertex  $v_n^s$  dengan  $n \equiv 1, 3 \pmod{5}$  harus menambahkan vertex  $v_{n_{max}}^s$  ke dalam elemen  $W$ . Jika  $v_{n_{max}}^s \notin W$  maka
  - (d)  $r(v_{n_{max}}^1 | W) = r(v_{n_{max}}^2 | W)$ .

Dari (a), (b), dan (c) diperoleh pengambilan  $W = \{v_{2+5p}^s, v_{4+5r}^s\}$  dengan  $p = 0, 1, \dots, \lfloor \frac{n-5}{5} \rfloor$  dan  $r = 0, 1, \dots, \lfloor \frac{n-7}{5} \rfloor$ . Jika terdapat  $v_{2+5\lfloor \frac{n-5}{5} \rfloor}^s = v_{n+1}^s$  atau

$v_{4+5\lceil \frac{n-7}{5} \rceil}^5 = v_{n+1}^5$  maka  $v_{n_{max}}^5$  elemen  $W$ . Akibatnya kardinalitas pada *path*  $P_s$  adalah  $2 \left( \left\lceil \frac{n}{5} \right\rceil + \left\lceil \frac{2n-2}{5} \right\rceil \right) = 2 \left\lceil \frac{2n}{5} \right\rceil$ .

2. *Path*  $P_i$  dengan  $i = 3$ .

(a) Jika setiap *vertex*  $v_1^i, v_2^i, v_3^i \notin W$  maka  $r(v_1^i|W) = r(v_2^i|W) = r(v_3^i|W)$ . Sehingga salah satu dari ketiga *vertex* tersebut adalah elemen  $W$ . Misal dipilih  $v_1^i \in W$ , terdapat dua *vertex* dengan representasi sama yaitu  $r(v_2^i|W) = r(v_3^i|W)$ . Sama halnya jika dipilih  $v_2^i \in W$  maka  $r(v_1^i|W) = r(v_3^i|W)$ . Sehingga  $v_1^i, v_2^i \notin W$ , dipilih  $v_3^i \in W$ .

(b) Jika setiap *vertex*  $v_4^i, v_5^i \notin W$  maka  $r(v_4^i|W) = r(v_5^i|W)$ . Sehingga salah satu dari kedua *vertex* tersebut adalah elemen  $W$ . Dipilih  $v_4^i \in W$ , terdapat dua *vertex* dengan representasi sama yaitu  $r(v_1^i|W) = r(v_6^i|W)$ . Berarti  $v_4^i \notin W$ , sehingga dipilih  $v_5^i \in W$ .

(c) Dari (a) dan (b), terdapat setidaknya 2 elemen himpunan pembeda  $W$  dari setiap 5 *vertex*. Tanpa mengurangi keumuman misal dipilih  $n = 10$ , terdapat 4 elemen  $W$ . Jika dipilih  $v_3^i, v_5^i, v_8^i, v_{10}^i \in W$ . Diperoleh 2 pasang *vertex* dengan representasi berbeda terhadap  $W$  sehingga *vertex* tersebut merupakan elemen  $W$ . Pada *path*  $P_i$ , *vertex*  $v_n^i$  dengan  $n \equiv 2, 4 \pmod{5}$  harus menambahkan *vertex*  $v_{n_{max}}^i$  ke dalam elemen  $W$ . Jika  $v_{n_{max}}^i \notin W$  maka  $r(v_{n_{max}}^i|W) = r(v_{n_{max}-2}^i|W)$ .

Dari (a), (b), dan (c) diperoleh pengambilan  $W = \{v_{3+5p}^i, v_{5r}^i\}$  dengan  $p = 0, 1, \dots, \lceil \frac{n-6}{5} \rceil$  dan  $r = 1, 2, \dots, \lceil \frac{n-3}{5} \rceil$ . Jika terdapat  $v_{3+5\lceil \frac{n-6}{5} \rceil}^i = v_{n+1}^i$  atau  $v_{5\lceil \frac{n-3}{5} \rceil}^i = v_{n+1}^i$  maka  $v_{n_{max}}^i$  elemen  $W$ . Akibatnya kardinalitas pada *path*  $P_i$  adalah  $\left\lceil \frac{n-1}{5} \right\rceil + \left\lceil \frac{n-3}{5} \right\rceil = \left\lceil \frac{2n-2}{5} \right\rceil$ .

Dari 1 dan 2 berakibat kardinalitas dari  $W$  adalah jumlahan dari kardinalitas  $W$  pada kedua *path* yaitu  $P_s$  dan  $P_i$ . Diperoleh kardinalitas dari  $W$  adalah  $2 \left\lceil \frac{2n}{5} \right\rceil + \left\lceil \frac{2n-2}{5} \right\rceil$ . Sehingga  $\dim(C_3 \diamond P_{\infty}) = 2 \left\lceil \frac{2n}{5} \right\rceil + \left\lceil \frac{2n-2}{5} \right\rceil$  untuk  $n \geq 2$ .  $\square$

**Kasus 4.**  $m > 3$  dan  $n \geq 2$ .

Graf  $C_m \diamond P_n$  dengan  $m > 3$  dan  $n \geq 2$  mempunyai himpunan *vertex*  $V(C_m \diamond P_n) = \{u_1, u_2, \dots, u_m, v_1^1, v_2^1, \dots, v_n^1, v_1^2, v_2^2, \dots, v_n^2, \dots, v_1^m, v_2^m, \dots, v_n^m\}$ . Misal dipilih suatu himpunan tak kosong  $W \subset V(P_n)$ . Analog dengan Kasus 3 poin 2, untuk *path*  $P_i$  dengan  $1 \leq i \leq m$ , diperoleh pula pengambilan  $W = \{v_{3+5p}^i, v_{5r}^i\}$  dengan  $p = 0, 1, \dots, \lfloor \frac{n-6}{5} \rfloor$  dan  $r = 1, 2, \dots, \lfloor \frac{n-3}{5} \rfloor$ . Jika terdapat  $v_{3+5\lfloor \frac{n-6}{5} \rfloor}^i = v_{n+1}^i$  atau  $v_{5\lfloor \frac{n-3}{5} \rfloor}^i = v_{n+1}^i$  maka  $v_{n_{max}}^i$  elemen  $W$ . Terdapat  $m$  *copy* graf  $P_n$  pada  $C_m \diamond P_n$ . Sebanyak  $\lfloor \frac{2n-2}{5} \rfloor$  *vertex* pada setiap *copy* dari graf  $P_n$  merupakan elemen  $W$ . Akibatnya kardinalitas  $W$  adalah  $m \lfloor \frac{2n-2}{5} \rfloor$ . Sehingga terbukti bahwa  $\dim(C_m \diamond P_n) = m \lfloor \frac{2n-2}{5} \rfloor$  untuk  $m > 3$  dan  $n \geq 2$ .  $\square$

#### 4. Kesimpulan dan Saran

Berdasarkan hasil dan pembahasan di atas dapat disimpulkan bahwa dimensi metrik pada graf *starbarbell*  $SB_{m_1, m_2, \dots, m_n}$  adalah

$$\dim(SB_{m_1, m_2, \dots, m_n}) = \sum_{i=1}^n (m_i - 2).$$

Dimensi metrik pada graf  $C_m \diamond P_n$  adalah

$$\dim(C_m \diamond P_n) = \begin{cases} 2, & m = 3 \vee \text{genap } (m \geq 4), n = 1; \\ 3, & m \text{ ganjil } (m \geq 5), n = 1; \\ 2 \lfloor \frac{2n}{5} \rfloor + \lfloor \frac{2n-2}{5} \rfloor, & m = 3, n \geq 2; \\ m \lfloor \frac{2n-2}{5} \rfloor, & m > 3, n \geq 2. \end{cases}$$

Saran yang diberikan adalah untuk menentukan dimensi metrik pada kelas graf yang belum pernah diteliti, misalnya graf *king* dan hasil operasi *edge corona* pada graf *path* dan graf lengkap.

## Ucapan Terima Kasih

Penulis mengucapkan terima kasih atas dukungan dana penelitian anggaran tahun 2019 dari Program Studi Matematika, Fakultas Matematika dan Ilmu Pengetahuan Alam, Universitas Sebelas Maret Surakarta, Indonesia.

## Daftar Pustaka

- [1] Bača M, Baskoro E T, Salman A N M, Saputro S W and Suprijanti D, *The metric dimension of regular bipartite graphs*, Bull. Math. Soc. Sci. Math. Roumanie Tome **54**, 15-28, 2011.
- [2] Budianto W T and Kusmayadi T A, *The local metric dimension of starbarbell graph,  $K_m \odot P_n$  graph, and Möbius ladder graph*, J. Phys.: Conf. Ser. **1008**, 012050, 2018.
- [3] Caceres J, Hernando C, Mora M, Pelayo I M, Puertas M L and Seara C, *On the metric dimension of some families of graphs*, Electronic Notes in Discrete Math. **22**, 129-133, 2005.
- [4] Caceres J, Hernando C, Mora M, Pelayo I M and Puertas M L, *On the metric dimension of infinite graphs*, Electronic Notes in Discrete Math. **35**, 1-17, 2009.
- [5] Chartrand G, Eroh L, Johnson M and Oellermann O, *Resolvability in graphs and the metric dimension of graph*, Discrete Appl. Math **105**, 98-113, 2000.
- [6] Harary F and Melter R A, *On the metric dimension of a graph*, Ars Combinatoria **2**, 191-195, 1976.
- [7] Hou Y and Shiu W, *The spectrum of the edge corona of two graphs*, Electronic Journal of Linear Algebra **20**, 586-594, 2010.
- [8] Kusmayadi T A, Kuntari S, Fikri A F, Rahmadi D and Pradana H C, *The metric dimension of sunflower,  $t$ -fold wheel, and  $K_1 + (P_n \odot P_m)$* , Far East Journal of Mathematical Sciences (FJMS) **99**, 687-698, 2016.
- [9] Slater P J, *Dominating and reference sets in a graph*, J. Math. Phys. Sci. **22**, 445-455, 1988.
- [10] Widodo B J, Kusmayadi T A and Kuntari S, *Metric dimension of helm graph and double cones graph*, AIP Conference Proceedings **1746**, 020049, 2016.